

## Effect of Rigid Polyurethane Foam Core Density on Flexural and Compressive Properties of Sandwich Panels with Glass/Epoxy Faces

S. Nemati<sup>1</sup>, J.E. Jam\*<sup>2</sup>, and M.H. Beheshty<sup>3</sup>

1. Composite Materials and Technology Center, Malek Ashtar University of Technology,

P.O. Box: 15875-1774, Tehran, Iran

2. Iran Polymer and Petrochemical Institute, P.O. Box: 14965-115, Tehran, Iran

Received 13 May 2009, accepted 20 April 2010

### ABSTRACT

Sandwich panels as composite materials have two external walls of either metallic or polymer type. The space between these walls is filled by hard foam or other materials and the thickness of different layers is based on the final application of the panel. In the present work, the extent of variation in core density of polyether urethane foam and subsequent flexural and compressive changes in sandwich panels with glass or epoxy face sheets are tested and investigated. A number of hard polyether urethane foams with different middle panel layers density 80-295 kg/m<sup>3</sup> are designed to study the effect of foam density on mechanical properties including flexural and compressive properties. Flexural and compressive test results show that increased core density leads to improved mechanical properties. The slope of the curve decreases beyond density of 235 kg/m<sup>3</sup>. The reason may be explained on the limitation of shear intensity in increasing the mechanical properties. In this respect an optimum density of 235 kg/m<sup>3</sup> is obtained for the system under examinations and for reaching higher strength panels, foams of different core materials should be selected.

### Key Words:

sandwich panels,  
core, face,  
rigid polyether urethane  
foam, failure

(\* )To whom correspondence should be addressed.

E-mail: [jejamm@gmail.com](mailto:jejamm@gmail.com)

# اثر چگالی لایه میانی اسفنج پلی‌یورتان سخت بر خواص خمشی و فشاری دیواره‌های ساندویچی با جداره‌های اپوکسی - شیشه

سعید نعمتی<sup>۱</sup>, جعفر اسکندری جم<sup>۱\*</sup>, محمد حسین بهشتی<sup>۲</sup>

۱- تهران، دانشگاه مالک اشتر، مجتمع دانشگاهی مواد و فناوری‌های ساخت، مرکز آموزشی تحقیقاتی مواد مرکب،  
صندوق پستی ۱۷۷۴-۱۵۸۷۵

۲- تهران، پژوهشگاه پلیمر و پتروشیمی ایران، صندوق پستی ۱۱۵-۱۴۹۶۵

دربافت: ۸۷۲/۲۳، پذیرش: ۸۹/۷/۳۱

مجله علوم و تکنولوژی پلیمر،  
سال بیست و سوم، شماره ۱،  
صفحه ۱۶-۳۱  
ISSN : 1016-3255

## چکیده

دیواره‌های ساندویچی از کاربردهای مواد کامپوزیتی‌اند. این دیواره‌های دارای دو جداره خارجی (فلزی یا پلیمری) هستند که حد فاصل دو جداره، از یک اسفنج سخت (ایامده دیگر) پوشیده است و بنابر کاربری قطعه، در ضخامت‌های مناسب تهیه می‌شوند. در این پژوهش، دیواره‌های ساندویچی دارای جداره‌های شیشه - اپوکسی و لایه میانی اسفنج پلی‌اتریورتان سخت، از نظر تغییر چگالی اسفنج لایه میانی و تغییراتی که بدین وسیله در خواص خمشی و فشاری آنها ظاهر می‌شوند، بررسی شده‌اند. قالب‌گیری‌های متعدد از اسفنج پلی‌اتریورتان سخت به عمل آمده تا با ثابت نگه داشتن آمیخته و تغییر مقدار چگالی اسفنج، لایه‌های میانی دیواره با چگالی‌هایی در گستره  $80\text{--}295\text{ kg/m}^3$  تهیه شوند. سپس، نقش چگالی بر تغییرات خواص مکانیکی در دو حوزه خواص خمشی و فشاری بررسی شده است. مطالعه نتایج آزمون‌های خمشی و فشاری نشان می‌دهد، خواص مکانیکی با زیاد شدن چگالی لایه میانی تا حدی معین، ارتقا می‌یابند. ولی، پس از رسیدن به چگالی  $225\text{ kg/m}^3$  منحنی تغییر شیب داده و از شدت واستگی دیواره به چگالی اسفنج لایه میانی کاسته می‌شود. دلیل این پدیده را می‌توان در شدت یافتن نیروی برش و عدم قابلیت اسفنج در بروز خواص مکانیکی بهتر، حتی در چگالی بیشتر بیان کرد. به عبارت دیگر، چگالی  $225\text{ kg/m}^3$  حد بالای منطقی استفاده از لایه میانی از جنس اسفنج سخت پلی‌اتریورتان است و در حالت نیاز به استحکام بیشتر استفاده از سایر مواد جای‌گزین دیگر با خواص بهتر توصیه می‌شود.

## واژه‌های کلیدی

دیواره‌های (صفحات) ساندویچی،  
لایه میانی، جداره،  
اسفنج پلی‌اتریورتان سخت،  
شکست

\* مسئول مکاتبات، پیام نگار:

jejamm@mail.com

## مقدمه

میرزاپور و همکاران، دیوارهای ساندویچی با مشخصات لایه میانی اسفنج پلی اتر یورتان سخت و جدارهای شیشه - اپوکسی را زیر بار خمی سه نقطه‌ای قرار دادند و چسبیندگی لایه میانی به جدارهای را در چهار شرایط مختلف، جدارهای دو حالت خیس و خشک در دو دمای قالب گیری (دمای محیط و  $70^{\circ}\text{C}$ ) بررسی کردند. تحلیل نتایج به دست آمده نشان می‌دهد، با افزایش چسبیندگی بین لایه میانی و جدارهای می‌توان ساختار ساندویچی دارای خواص خمی بسیار بهتر به دست آورد. ضمن آن که با بهبود خواص خمی دیواره، شیوه شکست نمونه‌های نیز تغییر می‌کند [۶]. سه نوع دیواره ساندویچی دارای لایه میانی اسفنجی با سرعت کرنش شبه پویا ( $1000\text{ s}^{-1}$ ) در جهت ضخامت توسط Mahfuz و همکاران زیر آزمون فشاری قرار گرفتند. مشاهده شد، شکست فشاری به طور مستقیم با چگالی اسفنج لایه میانی متناسب است [۷]. امروزه، پژوهش‌های متعدد و گسترده‌ای در زمینه سازه‌های ساندویچی انجام می‌گیرد. دلیل تداوم این امر مشکلات اساسی است که در هنگام استفاده از آنها بروز می‌کند. از جمله این معضلات می‌توان به اتصال جداره و لایه میانی، تهیه لایه میانی، مدول، استحکام و پایداری کافی اجزای تشکیل دهنده دیواره، پیدا کردن روش‌های مناسب برای بررسی و رفع نقاطی این سازه‌ها و بالاخره تلاش برای ارتقای خواص و کاهش هزینه‌ها اشاره کرد [۶].

در این مقاله، نقش تغییر چگالی لایه اسفنجی بر خواص فشاری و خمی دیواره‌های دارای لایه میانی اسفنج سلول بسته پلی اتر یورتان سخت مطالعه شده است. محدوده نیروهای مجاز وارد بر دیوارهای متناسب با چگالی آنها معین شده و شیوه‌های شکست آنها نیز مشخص شده است. اسفنج پلی اتر یورتان سخت سلول بسته متناسب با چگالی آن قابلیت تحمل خواص فشاری و خمی معینی را دارد. بر اساس آزمون‌های انجام شده حد بالایی آن چگالی  $235\text{ kg/m}^3$  است، در حالت لزوم استفاده از اسفنج لایه میانی با خواص مکانیکی بیشتر یا چگالی بیشتر از  $235\text{ kg/m}^3$  اسفنج پلی اتر یورتان سخت پیشنهاد نمی‌شود و لازم است از مواد جای گزین لایه میانی دیگر با خواص مکانیکی بهتر از جنس اسفنج PVC یا پلی متاکریل ایمید (PMI) استفاده شود که از خواص مکانیکی بهتری برخوردارند.

## دیواره ساندویچی

هر دیواره ساندویچی از سه بخش اصلی تشکیل شده است که عبارتند از: جداره یا پوسته خارجی قطعه، لایه میانی یا هسته و چسب بین جداره و لایه میانی. اجزای تشکیل دهنده این ماده کامپوزیتی به تنایی ضعیف و انعطاف‌پذیرند، اما هنگامی که در ترکیب این ساختار قرار می‌گیرند، محصولی محکم، سخت و سبک به دست می‌آید [۸].

پس از جنگ جهانی دوم، سازه‌های ساندویچی از نظر سیر مطالعاتی و ساخت، در راستای پیش‌رفت طرح‌های هواپیما، دریایی و ساختمان‌سازی از آهنگ رشد بسیار مطلوبی برخوردار بوده‌اند. به نظر می‌رسد، شروع به کار و طراحی سازه‌های ساندویچی برای تولید قطعات سبک به ویژه در امر حمل و نقل از سال ۱۸۲۰ آغاز شده باشد، اما تجارت عادی این مواد به یک صد و ده سال پس از آن موكول شد [۱]. در سال‌های اخیر، صنایع هوافضا این فناوری را برای ساخت بسیاری از قطعات خود انتخاب کرده‌اند. تقریباً در همه هواپیماها، هلیکوپترها، وسایل حمل و نقل نظامی، ساختمان، حمل و نقل دریایی، شناورهای دریایی، بخش‌های داخلی ناوهای جنگی، بدنه قایق‌های کوچک، کرجی‌ها، کانتینرها، سقف‌های جابه‌جا شونده، برخی از قطعات پارک‌های کودک، وسایل اسکی، دیوارهای جداکننده سالن‌ها (پارتیشن)، درها، کارگاه‌ها، سرددخانه‌ها و کابینت‌ها به طور بسیار گسترده از سازه‌های ساندویچی استفاده می‌شود. صاحبان صنایع خودروسازی با استفاده از این فناوری در صدد سبک کردن محصولات خود به منظور کاهش مصرف سوخت و آلودگی هستند [۲].

ساختارهای ساندویچی متجاوز از چهل سال است که به دلیل سبکی وزن، سفتی خمی زیاد و خواص خستگی مطلوب، در ساخت قطعات و بخش‌های مختلف هواپیما مورد استفاده قرار گرفته‌اند [۳]. سه نوع اسفنج پلی اتر یورتان که دارای رفتارهای مکانیکی الاستومری، کشسان - پلاستیک و شکننده بودند، توسط Gibson و Ashby از نظر بررسی خواص فشاری مطالعه شدند و مناطق مختلف هر یک از منحنی‌ها (کشسان، سطح و افزایش) را مشخص کردند. آنها به این نتیجه رسیدند، افزایش چگالی اسفنج لایه میانی موجب افزایش مدول یانگ، افزایش استحکام فشاری و تنفس ناحیه مسطح و کاهش کرنش در ناحیه تراکم بخش پایانی منحنی می‌شود [۴].

صادقی و همکاران، ضمن مقایسه چند مدل نظری پیش‌بینی خواص خمی و فشاری با نتایج تجربی اعلام کردند، در آزمون خمی سه نقطه‌ای دیواره‌های ساندویچی دارای جدارهای شیشه - اپوکسی و لایه میانی اسفنج پلی یورتان، نظریه پیش‌بینی (Abaqus) در ناحیه کشسان با منحنی نتایج عملی کاملاً متطابق است و در سایر نواحی نیز بسیار نزدیک به نتایج عملی رفتار می‌کند. ضمن آن که تغییر سرعت بارگذاری (شبیه‌ایستا) اثر قابل ملاحظه‌ای بر رفتار خمی دیواره‌های ساندویچی ایجاد نمی‌کند. افزایش مدول لایه میانی اسفنجی و جدارهای کامپوزیتی موجب افزایش استحکام در برابر بارهای خمی وارد بر دیواره ساندویچی می‌شوند. اما، افزایش ضخامت لایه میانی باعث شکست ساختار دیواره در مقدار خمی کمتر می‌شود [۵].

می‌گیرد، سفتی خمی کل کامپوزیت به علت تقسیم سفتی به دو جداره ولایه میانی پرکننده بین دو جداره که باعث تشکیل ساختار ساندویچی می‌شود، افزایش می‌یابد [۱۲]. نظریه‌های مهندسی نشان می‌دهند، سفتی خمی هرنوع دیواره ساندویچی با توان دوم ضخامت آن مناسب است [۱۳]. طراحی و پیش‌رفت دیواره‌های ساندویچی معمولاً از دو مسیر اصلی بی‌گیری و تداوم می‌یابد.

اولین محور طراحی، کاربری‌های نظامی و هوافضا هستند که در این عرصه اولویت با دیواره‌های ساندویچی دارای لايه میانی لانه زنبوری است. دومین محور اصلی طراحی و کاربردی، ساختارهای ساندویچی مورد استفاده در صنایع دریایی هستند که در ساخت این نوع مواد کامپوزیتی، لايه میانی از جنس اسفنج یا چوب بالسا انتخاب می‌شود. با وجود آن که نسبت استحکام به وزن این نوع ساختارها از ساندویچ‌های لانه زنبوری کمتر است، دلیل اول عدم انتخاب لايه میانی لانه زنبوری، وجود حفره‌های خالی و امکان جمع شدن آب در محیط‌های دریایی است که ویژگی نامطلوبی به شمار می‌آید. علت دوم، تفاوت قیمت تمام شده آنهاست، زیرا لانه زنبوری‌ها گران‌ترند [۱۴]. لايه میانی دیواره‌های ساندویچی که به طور گسترده به عنوان سقف کارگاه‌ها، کارخانه‌ها و سایر مراکز تجاری و صنعتی به کار می‌روند، معمولاً از جنس اسفنج پلی‌اتر یورتان است. این دیواره‌ها دارای جداره‌های فلزی از جنس الومینیم یا ورقه‌های فولاد زنگ نزن هستند که باید قابلیت نگهداری بار ناشی از بارش برف را در حد متعارف داشته باشند. از آنها به عنوان دیوار نیز استفاده می‌شود [۱۵]. شایان ذکر است، اسفنج لايه میانی از جنس PU در مقایسه با اسفنج PVC یا PMI از خواص مکانیکی ضعیف‌تری برخوردار است. ولی، از نظر قیمت تمام شده، ارزان‌تر از موارد دیگر است [۱۶].

## تجربی

### مواد

جدارهای دیواره ساندویچی با استفاده از مواد اولیه رزین اپوکسی، Araldite LY 5052، همراه با سخت کننده HY 5052 تولیدی شرکت Huntsman Europe، ساخته شدند [۱۷]. عامل تقویت کننده، پارچه شیشه‌ای ساخت شرکت SP System انجلستان، از نوع E بافت ساده (Plain Weave)، آرایش تار و پود (۰/۹۰)، ضخامت mm ۰/۳۵ و وزن واحد سطح ۲۹۲ g/m<sup>2</sup> است.

جدارهای کامپوزیتی از رزین اپوکسی و لايه پارچه شیشه با نسبت تقریبی وزنی ۴۲:۵۸ و چگالی ۱/۷۵ g/cm<sup>3</sup> تشکیل شده‌اند.

۱- بر اساس تعریف ASTM، ساختار ساندویچی نوع خاصی از مواد کامپوزیتی لايه‌ای است که طی آن ترکیبی از چند لایه از مواد مختلف به یک دیگر چسبانده می‌شوند، به نحوی که خواص و ویژگی‌های هر یک از جزء از خواص کلی قطعه ظاهر و به فعلیت در می‌آید [۹].

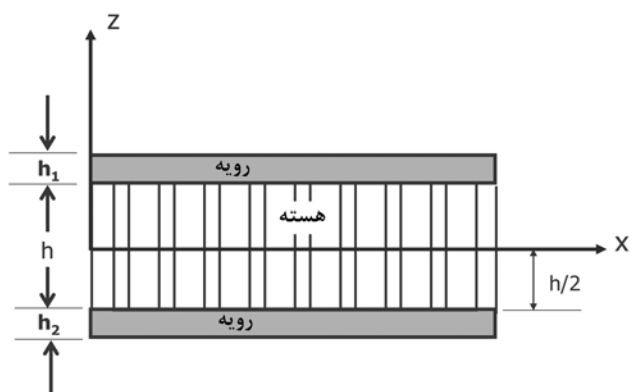
۲- دیواره ساندویچی از دو لايه کامپوزیتی که جداره‌های آن هستند و یک لايه اسفنج سخت تشکیل شده است، که ارائه دهنده خواص مناسب برای سفتی خمی و جذب انرژی آن است بدون آن که افزایش وزن چندانی را در کل قطعه به وجود آورد [۵].

جدارهای‌ها به لايه میانی متصل می‌شوند تا امکان انتقال نیرو بین اجزای سازه ساندویچی پذید آید. عملکرد این سازه‌ها و قابل قبول بودن رفتار مکانیکی آنها به استحکام چسبنده‌گی جداره‌ها به لايه میانی بستگی دارد [۶]. هدف اصلی چنین آرایشی افزایش استحکام و سفتی یک صفحه نازک با کمترین ازدیاد در وزن آن است. از این دیواره‌ها بیشتر در مواردی استفاده می‌شود که نیروی اصلی وارد شونده به سازه نیروی خمی باشد. ضخامت جداره‌ها اکثرآ در گستره‌ای بین ۰/۲۵ تا ۱/۷۷ mm انتخاب می‌شود [۱۰].

در شکل ۱ نحوه قرار گرفتن جداره‌ها و لايه میانی در کنار یک دیگر نشان داده شده است. شایان ذکر است، ویژگی‌های دو جداره در این دیواره یکسان هستند.

دیواره‌های ساندویچی امکان ساخت قطعاتی با مدول خمی زیاد به همراه سبکی وزن را فراهم آورده‌اند. از ویژگی‌های بر جسته دیواره‌های ساندویچی نسبت بسیار زیاد استحکام و مدول خمی به وزن آنها و خواص بسیار عالی عایق صوتی و گرمایی است. هم چنین، قابلیت چشم‌گیر کاهش وزن سازه‌ها را می‌توان نام برد [۲].

ساختارهای ساندویچی مقاومت بسیار زیادی در برابر خمی، پیچش و فشار از خود نشان می‌دهند. ضمن آن که از قابلیت کشسانی زیادی نیز برخوردارند [۱۱]. هنگامی که یک تیر یا صفحه زیر نیروی خمی قرار



شکل ۱- سطح مقطع یک دیواره ساندویچی [۲].

قرار دارند. مهم ترین ویژگی‌های فشاری لایه میانی دیواره ساندویچی نظریه تنش تسلیم، استحکام و مدول فشاری معین شدند [۲۱]. آزمون خمی براساس روش آزمون خمی سه نقطه‌ای (ASTM C 393-00) انجام شد [۲۲]. برای آزمون خمی حداقل چهار نمونه از هر مجموعه با بعد  $110 \times 20 \times 12$  mm تهیه شد. سرعت آزمون  $1 \text{ mm/mm}$  و فاصله بین دو تکیه گاه  $65 \text{ mm}$  انتخاب شد. طی آزمون مدول و استحکام خمی حداقل دیوارهای ساخته شده اندازه گیری شدند.

### ساخت دیواره‌ها

ساخت دیواره‌ها در دو مرحله انجام گرفت. ابتدا جداره‌های کامپوزیتی به روش لایه گذاری دستی تهیه شدند. در مرحله توزین و اختلاط مواد، رزین اپوکسی با سخت کننده، مطابق نسبت وزنی جدول ۱ پیشنهادی شرکت سازنده، Ciba، به نسبت  $38:100$  به طور جداگانه توزین و پس از اختلاط کامل، آمیخته برای عملیات لایه گذاری آماده شد. در مرحله بعد، یک لایه پارچه شیشه با مشخصات ابعادی  $5 \text{ mm}$  کمتر از ابعاد سطح قالب را با قیچی مناسب بریده و در نهایت عملیات شکل دهنی یک لایه روی سطوح داخلی دو نیم قالب به اجرا درآمد. در صد وزنی این لایه کامپوزیت  $58:42$  و چگالی تقریبی آن  $175 \text{ g/cm}^3$  محاسبه شد. پس از اتمام عملیات لایه گذاری جداره‌های بالا و پایین در سطوح بالایی و پایینی دو نیم قالب، فرایند پخت آنها انجام شد. بدین ترتیب، دو نیم قالب در حالت باز ابتدا به مدت تقریبی  $24 \text{ h}$  در دمای محیط و داخل فضای بسته گرم خانه (به منظور جلوگیری از جذب هر نوع آلودگی) قرار داده شدند تا پس از انجام ژل شدن، چگالی اتصالات عرضی جداره‌ها افزایش یابد. گرانروی رزین اپوکسی افزایش یافته و جداره‌ها تا حدی خشک شدند. در جدول ۲ زمان آغاز و انجام پدیده ژل شدن آمیخته در دمای محیط ارائه شده است.

پس از گذشت حدود  $24 \text{ h}$ ، به منظور افزایش درجه پخت جداره‌ها، دو نیم قالب به حالت باز، به مدت  $4 \text{ h}$  در درون گرم خانه  $70^\circ\text{C}$  قرار داده شدند تا شبکه‌ای شدن آنها سرعت یابد. در پایان این مرحله با یک لایه نازک چسب اپوکسی از جنس آمیخته زمینه جداره‌ها، سطوح داغ

جدول ۱ - نسبت اختلاط رزین اپوکسی و سخت کننده فاز پیوسته جداره‌ها [۱۷].

نسبت حجمی	قسمت وزنی	ترکیب
۱۰۰	۱۰۰	Araldite LY 5052
۷۴	۳۸	Hardener HY 5052 سخت کننده

جداره‌ها به همراه لایه نازک چسب اپوکسی در مجموع ضخامتی برابر با  $745 \pm 0.5 \text{ mm}$  را به وجود می‌آورند.

از عامل جداساز ویژه رزین اپوکسی با نام تجاری release QZ 13 Vantico modular به عنوان عامل جدا کننده استفاده شد. ویژگی مهم دیگر این عامل جدا کننده تحمل گرمایی آن بود که دمای  $70^\circ\text{C}$  پخت جداره‌ها را طی زمان اعلام شده در همین گزارش تحمل می‌کرد و از محیط عمل خارج نمی‌شد.

برای ساخت لایه میانی، دو ماده اولیه بسیار مهم سازنده اسفنج پلی یورتان سخت (پلی ال و دی ایزو سیانات) از شرکت یورتان سیستم خردباری شدند. این مواد در حقیقت ساخت شرکت Bayer آلمان بودند. مشخصات مواد اولیه اسفنج در کاتالوگ شرکت سازنده Urethane Systems آمده است [۱۸].

نتایج به دست آمده از تجزیه و شناسایی کمی و کیفی پلی ال تهیه شده نشان می‌دهد، این ماده از نوع اتری با فرمول شیمیایی گلیسرول تری (پلی اکسی پروپیلن) است که با طیف شماره ۵۲۲۴ از مرجع ۱۹ انطباق کامل دارد. ایزو سیانات به کار رفته دارای ترکیب شیمیایی اولیگومتلین فنیل ایزو سیانات است که دو عامل ایزو سیانات آن در وضعیت استخلاف ( $2,4$ ) مطابق با طیف شماره ۴۶۷ از مرجع ۱۹ قرار داشتند. هم چنین، عامل پفزای متعارف و پرمصرف موجود در بازار که به گروه عامل‌های دهنده HCFC تعلق داشت، در تهیه اسفنج لایه میانی مورد استفاده قرار گرفت. شناسایی کیفی دقیق هر سه ماده اولیه اصلی سازنده اسفنج انجام گرفت. اطلاعات کیفی ارائه شده با استناد به طیف زیر قرمز (FTIR) هر یک از آنها به دست آمد [۱۹].

### دستگاه‌ها

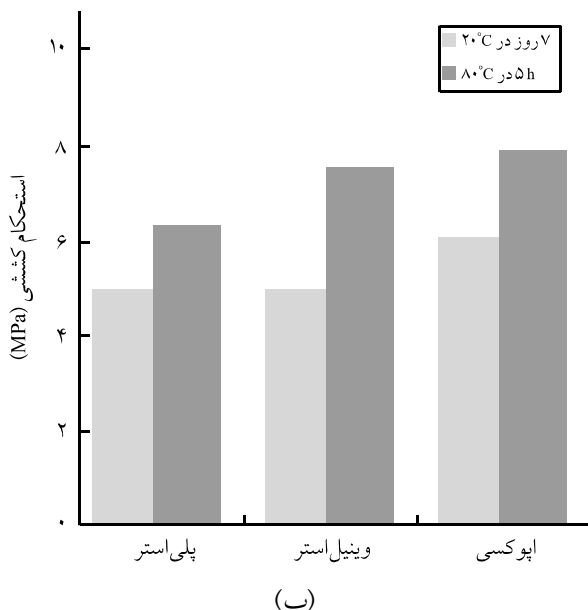
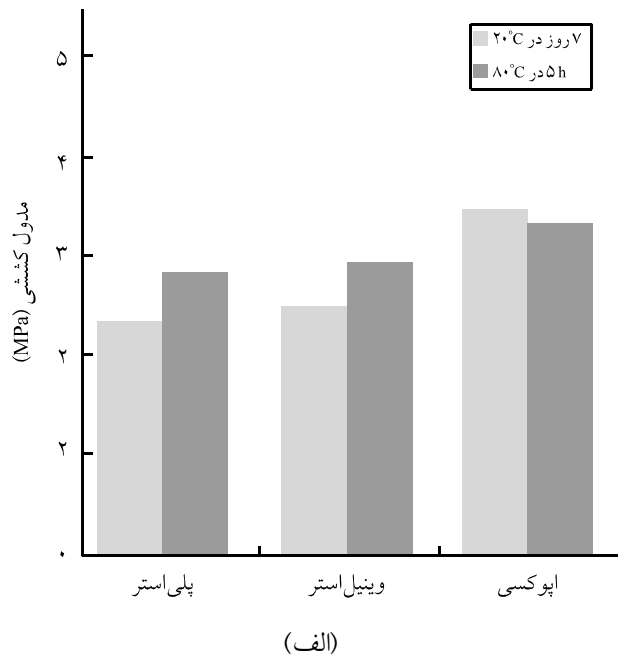
در این پژوهش از دستگاه Universal Testing Machine (UTM) ساخت شرکت Zwick آلمان، مدل ۱۴۴۵۰۱، دارای ظرفیت نهایی  $10 \text{ kN}$ ، برای انجام آزمون‌های خمی و فشاری استفاده شد. طیف سنج زیر قرمز مدل One Spectrum شرکت Perkin-Elmer کشور انگلیس، به منظور شناسایی کیفی و تعیین مقدار خلوص مواد اولیه به کار رفته در اسفنج لایه میانی، شامل پلی ال، عامل پف‌زا و دی ایزو سیانات مورد استفاده قرار گرفت.

### روش‌ها

آزمون تعیین چگالی اسفنج لایه میانی دیواره ساندویچی بر اساس استاندارد ASTM C 271-99 به عمل آمد [۲۰]. آزمون فشاری در حالت تخت (flat wise)، بر اساس روش آزمون ۰۰-۳۶۵ ASTM C در حالتی اعمال شد که نیروی فشاری عمود بر جداره‌های در تماس با لایه میانی

نشان داده شده است.

ضخامت جداره‌ها به همراه لایه نازک چسب اپوکسی در مجموع برابر با  $745 \pm 0.5$  mm و چگالی نسبی  $1775 \pm 0.5$  g/cm<sup>3</sup> است. با در نظر گرفتن لایه چسب، معادل  $58 \pm 0.5$  درصد وزنی ماده کامپوزیت از رزین اپوکسی و  $42 \pm 0.5$  درصد وزنی ماده کامپوزیت از تقویت کننده شیشه‌ای تشکیل یافته است.



شکل ۲ - اثر دو شرایط متفاوت پخت بر (الف) مدول و (ب) استحکام کششی سه نوع رزین مهم و پرمصرف [۲۳].

## جدول ۲ - زمان آغاز و انجام ژل شدن آمیخته در دمای ثابت [۱۷]

حالات	زمان (h)	ویژگی
آغاز ژل شدن در ۲۳°C	۵-۶/۵	در لایه نازک، $0.4-0.7$ mm
پایان	۷-۸	

داخلی جداره‌ها با چسب پوشانده شدند. سپس با بستن قالب و قرار دادن آن در زیر پرس، قالب آماده پذیرش اسفنج لایه میانی شد. بین دو نیم قالب بالا و پایین محافظه‌ای فولادی به ارتفاع  $10/5$  mm قرار گرفت تا در آن جای لایه میانی اسفنج ایجاد و به این دو جداره متصل شود. مشخصات و نکات فنی مواد اولیه اسفنج پلی یورتان سخت مندرج در کاتالوگ شرکت سازنده، در جدول ۳ ارائه شده است.

جزای آمیخته اسفنج به وسیله یک مخلوط کن مناسب به مدت حداقل ۵-۳۵ دقیقه مخلوط شد. سپس، اسفنج آماده شده پس از انتقال به داخل سرنگ، با حداکثر سرعت ممکن به قالب تزریق شد. قالب گیری در دمای  $65 \pm 2/5$  °C انجام شد. سطوح آزاد قالب با عایق نمدی پوشانده شد تا سرد شدن قالب به آرامی انجام گیرد. پس از ۱۴ h، دیواره از قالب بیرون آورده شد. برای گذراندن مرحله پخت، دیواره ساندویچی ساخته شده تا پانزده روز در دمای محیط بدون تحملی هیچ نوع تنش قرار داده شد. این کار موجب می‌شود تا ساختار سه بعدی دیواره تکمیل و استحکام مکانیکی نهایی آن حاصل شود.

در نمودارهای شکل ۲ اثر دو شرایط متفاوت پخت بر مدول و استحکام کششی سه نمونه رزین پرمصرف در ساخت مواد کامپوزیت

## جدول ۳ - مشخصات اسفنج پلی یورتان سخت لایه میانی [۱۸]

نام جزء	مقدار (g)
پلی ال	۴۰
ایزو سیانات	۶۰
<b>مشخصات آزمایشگاهی</b>	
نسبت پلی ال: ایزو سیانات	۱۰۰:۱۵۵
نوع پلی ال	*۶۲۰ W
زمان اختلاط (s)	۴۵
زمان کرمی شدن (s)	۶۰-۷۰
زمان ژل شدن (s)	۱۳۰-۱۵۰
چگالی بالا آمدن آزاد اسفنج (kg/m <sup>3</sup> )	۶۵-۷۵

\*نام تجاری.

نمونه مشخص نشده، اما برای محاسبات مربوط به کرنش ضخامت  $12\text{ mm}$  پیشنهاد شده است.

نمونه های تهیه شده با سرعت  $1\text{ mm/min}$  زیر آزمون قرار گرفتند. افزون بر پارامترهای اصلی آزمون، تنش های فشاری وارد شده، در کرنش های  $10\text{, }20\text{ و }30\%$  نیز معین شدند. ضمن آن که استحکام فشاری حد اکثر آنها نیز در کرنش  $50\%$  محاسبه شد. کلیه نمونه ها در پایان آزمون فشاری بدون شکستگی و خرد شدن بودند و تنها پدیده جمع شدگی در ضخامت و افزایش ابعاد (پهن شدن) اسفنج در دو جهت  $X$  و  $Y$  در آنها مشاهده شد. برخی دیگر افزون بر کمانش، دچار پیچش در ارتفاع نیز شدند.

## نتایج و بحث

### خواص مکانیکی

در مجموعه آزمون های بررسی خواص مکانیکی دیوارهای ساندویچی، دو آزمایش تعیین خواص خمی و فشاری همواره از اهمیت بسیار زیادی برخوردارند. در این پژوهش، دو آزمون مزبور محور آزمون های عملی و تحلیل نتایج قرار گرفتند.

**اثر چگالی اسفنج لایه میانی بر خواص فشاری دیوارهای ساندویچی**  
هدف از انجام این آزمون، در زمینه اثر چگالی لایه میانی بر خواص تنش تسلیم، مدول، استحکام و کرنش فشاری دیوارهای تهیه شده با چگالی های مختلف لایه میانی بوده است.  
برای این منظور هفت دیواره با چگالی هایی در گستره  $275\text{ kg/m}^3$  تا  $80\text{ kg/m}^3$  تهیه شدند و آزمون تعیین خواص فشاری روی این نمونه ها انجام شد. نتایج به دست آمده در جدول ۴ آرائه شده است.

آنچه که در نگاه اول از اطلاعات مندرج در جدول ۱ استنباط می شود، این حقیقت است که با افزایاد چگالی، خواص فشاری بهبود می یابند. حال باید چگونگی ارتباط خواص با چگالی را مورد بررسی قرار داد. تنش تسلیم فشاری در اسفنج های سلول بسته، به منزله حد بالای تنش مجاز وارد شده بر آنها تلقی می شود. زیرا، عبور از این حد موجب انهدام سلول ها و از بین رفتن خواص اسفنج می شود، مگر این که مطالعه خاصیت یا رفتار ویژه دیگری از اسفنج مورد نظر پژوهش گر باشد. هنگامی که خواص فشاری چند اسفنج با هم مقایسه می شود، معمولاً در یک کرنش معین، استحکام فشاری آنها را با هم مقایسه می کنند. هر قدر نمونه قابلیت جمع شدن بیشتری داشته باشد و زیر تنش فشاری کمتری

با ثابت نگه داشتن مشخصات جدارهای دارای نمونه ها، چگالی اسفنج لایه میانی بنابر ضرورت تهیه هر دیواره در گستره  $80\text{-}275\text{ kg/m}^3$  تغییر داده می شدند.

### مشخصات و روش ساخت دیوارهای تهیه شده

قالب فولادی که به کمک آن دیوارهای ساندویچی تهیه شدند، دارای یک حفره با ابعاد  $300\times 200\times 12\text{ mm}$  بود. قالب دیواره ساندویچی سه تکه ای طراحی شده بود. بدین ترتیب که در سطح داخلی دونیم قالب بالا و پایین، محل ساخت جدارهای ساندویچ نهایی در نظر گرفته شده بودند. محفظه فولادی تزریق به ارتفاع  $10/5\text{ mm}$ ، بین دو نیم قالب قرار می گرفت و در آن جا لایه میانی شکل داده می شد.

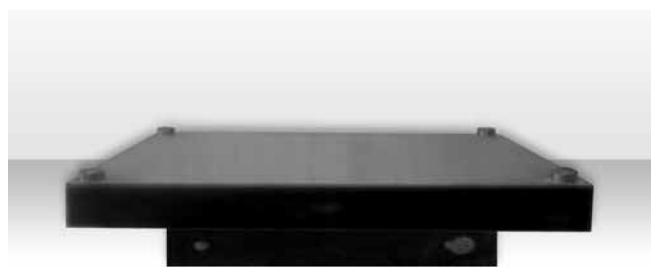
در شکل ۳ قالب استفاده شده برای ساخت دیوارهای نشان داده شده است. در وسط طول قالب و در نقطه میانی ارتفاع، راه گاه انتقال سیال اسفنج به حفره قرار گرفته است که عمل تزریق اسفنج، به حالت عمود بر عرض انجام می شد.

جدارهای کامپوزیتی از رزین اپوکسی و یک لایه پارچه شیشه، به نسبت تقریبی  $42:58$  درصد وزنی و چگالی  $1775\pm 0/5\text{ g/cm}^3$  ضخامت جدارهای به همراه لایه نازک چسب اپوکسی جمعاً ضخامتی برابر با  $42\pm 0/5\text{ mm}$  به وجود می آورند.

در ادامه به وسیله دو لایه نازک چسب اپوکسی از جنس آمیخته زمینه جدارهای سطوح داغ داخلی جدارهای با لایه نازکی از چسب اپوکسی از جنس و ترکیب آمیخته فاز پیوسته جدارهای بالایی و پایینی دیواره ساندویچی پوشانده شد. سپس با استن قالب و قرار دادن آن در زیر پرس، مرحله تزریق اسفنج انجام شد. پس از  $14\text{ h}$ ، دیواره از قالب بیرون آورده شد.

### آزمون فشاری و بینگی های نمونه ها

این آزمون مطابق با دستور کار استاندارد ASTM C365-00 انجام شده است. بنابر توصیه ASTM آزمونهای باید مربع شکل و دارای ابعاد حد اکثر  $20\times 20\text{ mm}$  باشند. نمونه هایی به ابعاد  $20\times 20\times 12\text{ mm}$  در جهت عمود بر بالا آمدن اسفنج تهیه شدند. در استاندارد ارتفاع معینی برای



شکل ۳ - قالب استفاده شده برای ساخت دیوارهای ساندویچی.

جدول ۴ - نتایج آزمون تعیین خواص فشاری هفت دیواره با چگالی متفاوت لایه‌های میانی.

مدول فشاری ویژه <sup>*</sup> ( $10^2 \times \text{mm}$ )	مدول فشاری (MPa)	استحکام فشاری در کرنش ۵۰% (MPa)	تنش تسلیم فشاری (MPa)	چگالی (kg/m <sup>3</sup> )		نمونه
				دیواره	اسفنج	
۱۱۴/۳	۱۶/۰(۰/۵۸)**	۷/۴	۰/۲۵	۱۴۰	۸۰	۱
۲۸۸/۴	۵۴/۸(۰/۸۶)	۲/۱	۰/۷/۱	۱۹۰	۱۳۰	۲
۳۳۱/۸	۷۴/۰(۷۴۰)	۳/۴	۳۰/۱	۲۲۳	۱۵۵	۳
۳۶۶/۱	۸۰/۹(۷۰۴)	۳/۹	۷/۴۲	۲۲۱	۱۶۲	۴
۴۲۹/۲	۱۰۰(۳۳۰)	۵/۷	۱/۷۰	۲۳۳	۱۷۴	۵
۴۷۴/۰	۱۵۵(۳/۵۰)	۱۰/۸	۲/۸/۱	۳۲۷	۲۳۶	۶
۵۱۷/۴	۱۷۹(۳/۰۰)	۱۱/۹	۳/۳۰	۳۵۰	۲۷۵	۷

\* مدول فشاری ویژه از تقسیم مدول فشاری به چگالی دیواره حاصل شده است.

\*\* اعداد داخل پرانتز انحراف از استاندارد را نشان می‌دهند.

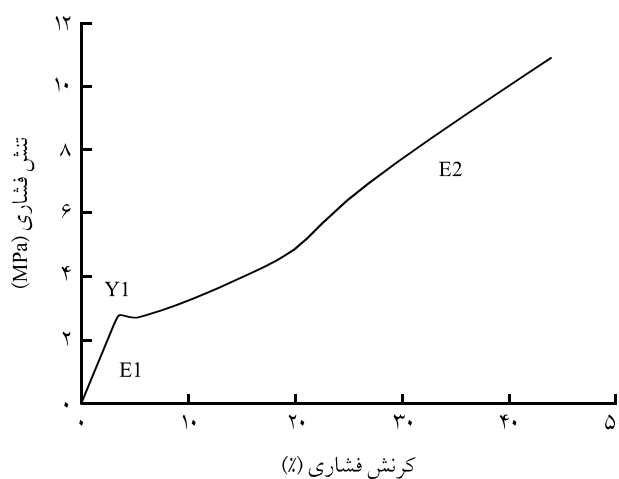
سریع) سلول‌ها یا مقاومت و تخریب آنها پس از تنش تسلیم ۱٪ قرار گیرد که به اصطلاح ناحیه مسطح نامیده می‌شود. E<sub>2</sub> مدولی است که پس از انهدام سلول‌های اسفنج ظاهر می‌شود و نشان دهنده تمایل تغییر شکل فشاری بقایای اسفنج در برابر تنش فشاری وارد بر آن است که به نام منطقه تراکم از آن یاد می‌شود. نقطه شروع E<sub>2</sub> به وسیله رسم مماس در ناحیه خطی E<sub>2</sub> و تقاطع آن با مماس ناحیه مسطح مشخص می‌شود. شکل ۵ تغییرات مدول فشاری در برابر افزایش چگالی اسفنج‌های لایه میانی شش دیواره ساندویچی را نشان می‌دهد. نتایج به دست آمده از نمونه‌هایی که در آنها چگالی لایه میانی افزوده شده دلالت بر آن دارد که ابتدا با افزایش چگالی، مدول فشاری دیواره به شکل خطی افزایش

به حد مورد نظر برسد، دارای استحکام فشاری کمتری است. بر عکس، هر قدر برای جمع شدن آن تنش بیشتری صرف شود، آن نمونه، دارای استحکام فشاری بیشتر است. در این پژوهش سعی شده است، تنش فشاری در کرنش ۵۰٪ ثبت شده و نتایج با یک دیگر مقایسه شوند. هرچند، نمونه‌ها تا حدود ۱۷۵ MPa زیر فشار قرار داده شده و رفتار نمونه‌ها این محدوده بررسی شده‌اند. جدول ۴ نشان می‌دهد، نمونه ۶ از استحکام فشاری و مدول زیاد و مقدار جمع شدگی کمتر در آزمون فشاری نسبت به سایر موارد مشابه برخوردار است. تنش تسلیم زیاد فکان این را فراهم می‌آورد تا نمونه مذبور در حین کاربری نسبت به اکثر نمونه‌های مورد بررسی کارآمدتر باشد. برای مثال، نسبت به نمونه ۲ تنش تسلیم آن در حدود ۲۸۰ درصد بیشتر است.

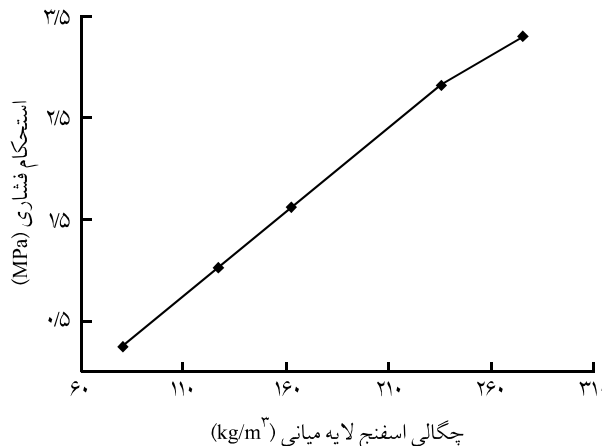
در شکل ۴ رفتار تنش - کرنش فشاری دیواره ساندویچی نمونه ۶ همراه با چند ویژگی مهم از خواص کشنشی آن دیده می‌شود. اغلب دیواره‌ها مشابه همین رفتار مکانیکی را نشان می‌دهند. اما، اختلاف اصلی در مدول، ناحیه مسطح و نقطه تسلیم آنهاست.

E<sub>1</sub> مدولی است که در طول تغییر شکل کشسان نمونه پدیدار می‌شود، همین مدول ملاک بررسی مدول فشاری نمونه زیر آزمون در برابر تنش‌های فشاری طی سرویس دهی آن محسوب می‌شود.

Y<sub>1</sub> تنش تسلیم فشاری است و نمایان گر حداکثر مقاومتی است که اسفنج در برابر تنش فشاری نشان می‌دهد. عبور از این حد به منزله ورود به مرحله ترکیدن و انهدام سلول‌های اسفنج سلول بسته است. رفتار ناحیه گذار، حد فاصل Y<sub>1</sub> و شروع E<sub>2</sub> در شکل ۳ است که می‌تواند ملاک تعیین سرعت تخریب مکانیکی اسفنج، سرعت انهدام (تدریجی یا



شکل ۴ - نمودار رفتار تنش - کرنش آزمون فشاری نمونه ۶.



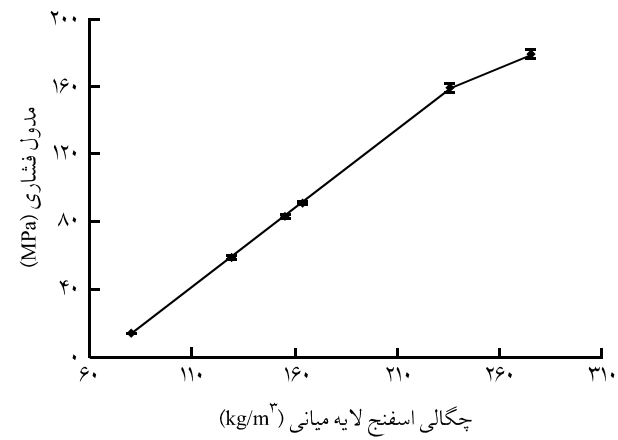
شکل ۶-وابستگی استحکام فشاری به چگالی اسفنج لایه میانی.

لایه میانی موجب ازدیاد مقاومت دیواره در برابر آسیب‌های ناشی از ضربات وارد برآن می‌شود [۱۴].

#### اثر تغییرات چگالی اسفنج لایه میانی بر خواص خمشی دیوارهای ساندویچی

در جدول ۵ خواص خمشی شش دیواره که تفاوت اصلی تنها در چگالی لایه میانی آنهاست، با یک دیگر مقایسه شده‌اند. در این جا نیز با ازدیاد چگالی خواص خمشی بهبود می‌یابد.

جدول ۵ نشان می‌دهد، با افزایش چگالی لایه میانی پارامترهای مدول و استحکام خمشی دیواره تا حد معینی به شکل خطی افزایش می‌یابد.



شکل ۵-تغییرات مدول فشاری شش دیواره در مقابل ازدیاد چگالی لایه میانی.

پیدا می‌کند. ولی، هنگامی که چگالی اسفنج لایه میانی از  $235 \text{ kg}/\text{m}^3$  بیشتر می‌شود، وابستگی مدول و استحکام فشاری به چگالی اسفنج لایه میانی کمتر می‌شود. از این حد بالاتر، از اثر چگالی در افزایش مدول فشاری کاسته می‌شود.

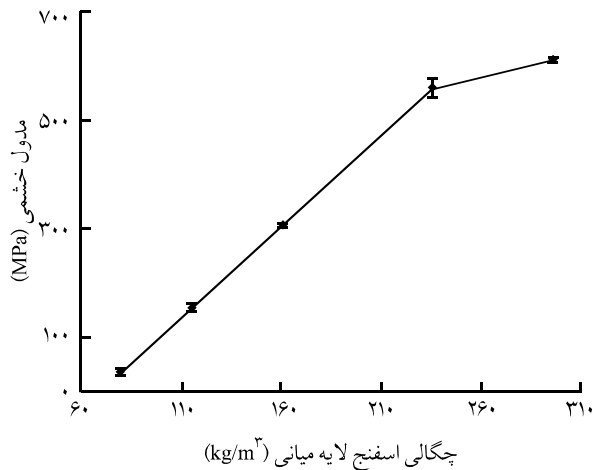
اثر چگالی لایه میانی بر استحکام فشاری دیواره ساندویچی در شکل ۶ نشان داده شده است. این شکل نیز نشان می‌دهد، تغییرات استحکام فشاری همانند تغییرات مدول فشاری است. بدین ترتیب تا چگالی  $235 \text{ kg}/\text{m}^3$  رفتار خطی است و پس از آن از سرعت افزایش آن کاسته می‌شود و تابعیت خطی خود را از دست می‌دهد. افزایش چگالی اسفنج

جدول ۵- مقایسه خواص خمشی شش دیواره با لایه‌های میانی متفاوت از نظر چگالی.

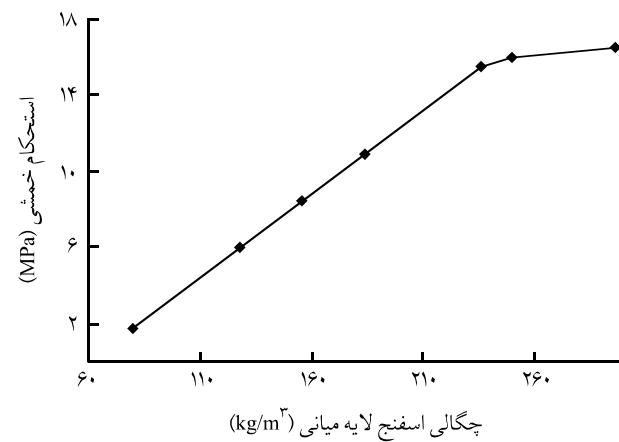
نمونه	چگالی ( $\text{kg}/\text{m}^3$ )	اسفنج	دیواره	تش تسلیم خمشی (MPa)	استحکام خمشی ویژه ( $10^2 \times \text{mm}$ )	مدول خمشی (MPa)	مدول خمشی ویژه** ( $10^2 \times \text{mm}$ )
۱	۱۴۰	۸۰	۷۸/۰۰۴*	۱۲/۸۵	۳۵ (۰/۳)*	۲۵۰	۳۵ (۰/۳)
۲	۱۹۰	۱۳۰	۶۰ (۰/۱۲)	۳۷/۶	۱۷۱ (۷/۰)	۹۰۰	۱۷۱ (۷/۰)
۳	۱۵۵	۱۵۵	۸/۸ (۰/۰۶)	۲۹/۴۶	۳۰۹ (۰/۹)	۱۳۸۵	۳۰۹ (۰/۹)
۶	۳۲۷	۲۳۶	۱۵/۵ (۰/۳۰)	۴۷/۴	۵۵۸ (۱۹)	۱۷۰۶	۵۵۸ (۱۹)
۷	۳۵۰	۲۷۵	۱۶/۲ (۰/۲۰)	۴۶/۳	۵۷۰ (۴/۰)	۱۶۲۹	۵۷۰ (۴/۰)
۸	۳۵۴	۲۹۶	۱۶/۵ (۰/۳۰)	۴۶/۶	۶۰۵ (۰/۳)	۱۷۰۹	۶۰۵ (۰/۳)

\* اعداد داخل پرانتز انحراف از استاندارد را نشان می‌دهند.

\*\* مدول خمشی ویژه از تقسیم مدول خمشی به چگالی دیواره حاصل شده است.



شکل ۸ - نمودار تغییرات مدول خمثی با افزایش چگالی لایه میانی.



شکل ۷ - نمودار تغییرات استحکام خمثی هفت مجموعه دیواره با افزایش چگالی لایه میانی.

#### انجام شد:

معرفی مشخصات ساختار لایه‌ای ماده برای تشخیص نرم افزار بین جداره و لایه میانی، انتخاب مقیاس SI، معرفی ابعاد و مشخصات مکانیکی هر لایه نظری مدول کشسانی (متناوب با نوع آزمون)، مدول برنشی و ضریب پواسون در سه بعد و چگالی وارد کردن خواص مکانیکی هر کدام از لایه‌ها (اعم از جداره‌ها و لایه میانی) در جداول های مخصوص درخواست شده به وسیله نرم افزار، مدل‌سازی قطعه مورد نظر از نظر ابعادی و ایجاد شکل هندسی آن، مش زدن نمونه، معرفی تکیه گاه‌ها و نقاطی که در حین اعمال تنش در آنها عدم چرخش یا تغییر مکان میسر است، تعیین محل، جهت و نوع نیروی وارد شونده بر دیواره، دستور حل و پردازش اطلاعات مسئله پس از حل آن برای کسب پارامترهای مورد نظر و ثبت و تحلیل نتایج [۲۴].

در جدول ۶ مقایسه‌ای بین نتایج تجربی و محاسبات نرم افزاری ANSYS به منظور تعیین کرنش فشاری نمونه‌های دیواره ساندویچی ارائه شده است.

علت خارج شدن رفتار منحنی از حالت اولیه خطی را می‌توان متناسب با آزمون‌های انجام شده در دو محور تشریح کرد.

#### علل ایجاد شکستگی از دیدگاه رفتار فشاری

در شکل ۶ نمودار استحکام فشاری دیواره در برابر تغییر چگالی و تغییر شیب منحنی آن که به زحمت دیده می‌شود، ارائه شده است. تجارت حاصل آمده نشان می‌دهد، در حین اعمال فشار، به لحاظ این که مدول فشاری جداره‌ها حدود صد برابر بیشتر از اسفنج است، جداره‌ها وارد عمل نمی‌شوند (جمع نمی‌شوند). در این حالت، نمودار ثبت شده تنها به

اما، از چگالی  $\text{kg}/\text{m}^3 235$  به بالاتر از شدت وابستگی مدول خمثی به ویژگی چگالی به شدت کاسته می‌شود. برای نمایش ساده‌تر و بهتر این موضوع، اطلاعات به دست آمده از مقادیر استحکام و مدول خمثی هفت مجموعه آزمونه در برابر تغییر چگالی لایه میانی آنها در شکل‌های ۷ و ۸ نشان داده است. این شکل‌ها نشان می‌دهند، با افزایش چگالی افزون بر مدول، استحکام خمثی دیواره آن نیز به شکل خطی افزایش می‌یابد یا به عبارتی بهبود پیدا می‌کند. ولی، از مقدار  $\text{kg}/\text{m}^3 235$  به بالاتر، از شدت وابستگی استحکام و مدول خمثی به پارامتر چگالی به مقدار بسیار زیادی کاسته می‌شود. از این حد بیشتر از دیاد چگالی اسنج، نقش مهمی در خواص خمثی دیواره‌های ساندویچی ندارد.

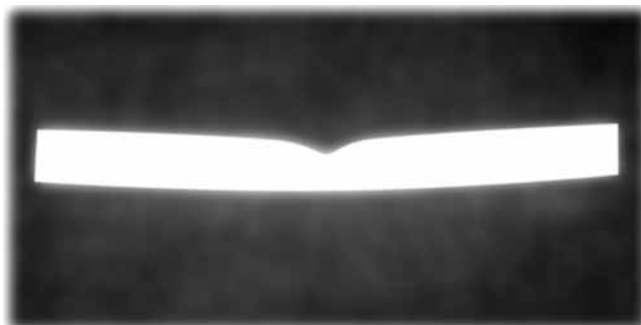
#### مقایسه نتایج تجربی و نظری

در این مرحله، اطلاعات حاصل از کرنش فشاری تعدادی دیواره‌های ساخته شده که مورد آزمایش‌های عملی قرار گرفته‌اند، با اطلاعات حاصل از نرم افزار ANSYS نسخه ۵/۴ مقایسه شده‌اند. از نرم افزار ANSYS برای انجام محاسبات خمثی و فشاری کمک گرفته شد و نتایج به دست آمده با اطلاعات آزمایشگاهی مقایسه شدند. از امکانات این نرم افزار برای تعیین مقدار کرنش فشاری و فیلم برداری از چگونگی نحوه رفتار نمونه‌ها در حین آزمون‌های فشاری و خمثی استفاده شد.

برای مدل‌سازی نمونه‌ها مراحل اصلی زیر طی شدند: ابتدا یک مدل دو بعدی با انتخاب جزء لایه‌ای چهارضلعی هشت گره‌ای به کمک 46 Solid استفاده شد که در کامپوزیت‌های لایه‌ای و به ویژه برای دیواره‌های ساندویچی مناسب است. در مراحل بعد، کارهای زیر

## بررسی شد:

- ۱- در شکل ۷ با ازدیاد چگالی نمونه‌ها، برای اسفنج نمونه ۶ در مقایسه با سه نمونه سبک‌تر قبل، رفتار منحنی استحکام خمشی از حالت خطی خارج شده و شکستگی آغاز می‌شود.
- ۲- بر اساس شکل ۷، سه نمونه دارای چگالی‌های کمتر، که مشخصات آنها در جدول ۵ ارائه شده است، در برابر استحکام خمشی رفتاری خطی رو به افزایش از نظر بهبود استحکام خمشی نشان داده‌اند. در حالی که اسفنج‌های چگال تر با سرعت بسیار کمتر افزایش استحکام خمشی همراه هستند.
- ۳- آزمایش‌ها و بررسی‌های به عمل آمده در زمینه شیوه شکست آنها نیز دلالت بر آن دارد که سه نمونه دارای چگالی کمتر، به شیوه فرورفتگی جداره در لایه میانی اسفنجی و سه نمونه دیواره با لایه میانی اسفنج چگال‌تر نیز دارای شیوه شکست جداره‌ها هستند. در حقیقت، دو نوع شیوه شکست اصلی در این شش مجموعه دیواره مشاهده می‌شود. سه نمونه سبک‌تر دارای ساز و کار نفوذ جداره در لایه میانی (شکل ۹) هستند که دلیل آن را در استحکام کم لایه میانی و نداشتن مقاومت کافی در برابر تنش خمشی وارد بر جداره دیواره، هم چنین عدم مشارکت اجزای تشکیل دهنده ساندویچ در تحمل بار خمشی وارد شده بر آن، می‌توان ارزیابی کرد.
- ۴- رفتار مکانیکی خمشی نمونه ۳ در شکل ۱۰ نشان داده شده است. ملاحظه می‌شود، نمونه مورد آزمون پس از تحمل و رسیدن به سطح معینی از نیروی خمشی، با افزایش نیرو مقاومت خود را از دست داده و در ادامه آزمون بخشی از جداره بالایی به درون لایه زیری اسفنجی منتقل می‌شود. ولی تا پایان آزمون قطعه به شکست نهایی نمی‌رسد و عدم افت شدید نیرو این موضوع را تأیید می‌کند. ضمن آن که شکل ۹ نیز نشان می‌دهد، تنها بخش بالایی دیواره دچار شکست نسبی خمشی شده است.



شکل ۹- نمونه ۳ در پایان آزمون خمشی و شکست دیواره به شیوه نفوذ جداره در اسفنج لایه میانی.

## جدول ۶- مقایسه نتایج تجربی و نرم افزاری تعیین کرنش فشاری.

نمونه	چگالی اسفنج (kg/m³)	استحکام فشاری در ۵۰٪ کرنش فشاری (%)	تجربی	نرم افزار
۳	۱۵۵	۲۷۴	۵۰	۵۴/۰
۴	۱۶۲	۲۹	۵۰	۵۱/۵
۶	۲۳۶	۱۰/۸	۵۰	۴۷/۶
۷	۲۷۲	۱۱/۹	۵۰	۴۷/۰

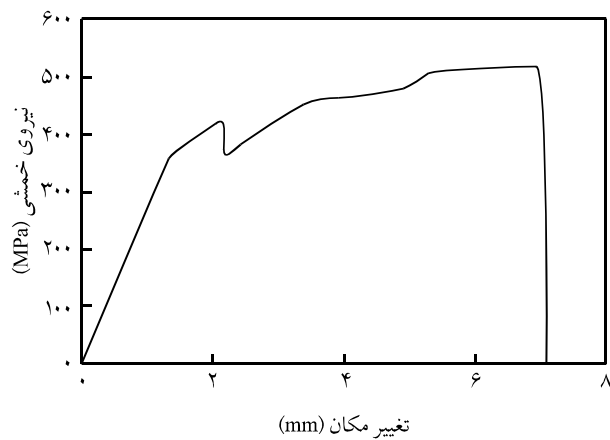
Riftar فشاری اسفنج تعلق دارد. به همین دلیل استاندارد مورد استناد ASTM، پژوهش گران را مخیر می‌کند که دیواره یا تنها اسفنج لایه میانی را مورد آزمون فشاری قرار دهد.

## دلیل ایجاد شکستگی در منحنی فشاری

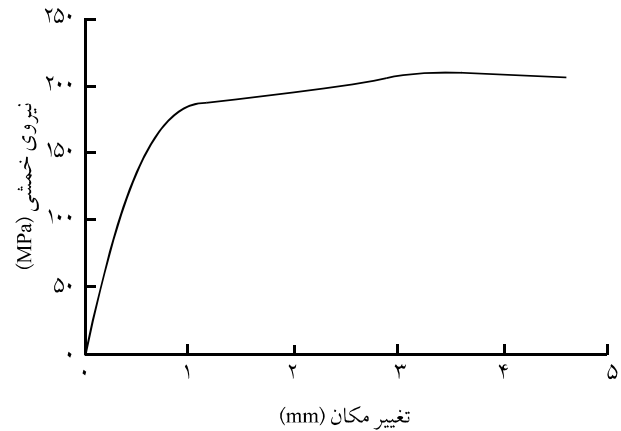
در ابتدای آزمون، اسفنج متناسب با چگالی، درجه اتصالات عرضی و ماهیت ساختار مولکولی خود شروع به جمع شدن و کاهش ارتفاع می‌کند و در جهت عمود بر زمین (Z) کرنش فشاری نشان می‌دهد. هم چنین، نمونه کم از چهار طرف وسط ارتفاع آن (در دو جهت محورهای X و Y) افزایش ابعادی (به شکل کمانش) نشان می‌دهد. هر قدر چگالی کمتر باشد، به علت درشت تر بودن حجم سلول‌های اسفنج لایه میانی و ضعف مکانیکی آنها، در نتیجه استحکام فشاری کمتر، رفتار کاهش ارتفاع عمود بر زمین و افزایش ابعادی ناشی از تنش فشاری به موازات سطح زمین، بهتر دیده می‌شود. ولی با ازدیاد چگالی مشاهده می‌شود، کرنش فشاری در نمونه در هین کاهش ارتفاع، با کمانش و پیچش نیز همراه می‌شود.

در نمونه‌های دارای چگالی بیشتر، به علت افزایش چگالی و در نتیجه بهبود خواص مکانیکی، اسفنج لایه میانی در برابر تنش فشاری از خود مقاومت بیشتری نشان می‌دهد. این امر، سبب ایجاد نیروی برشی بین جداره‌ها و اسفنج لایه میانی می‌شود و چون بخشی از نیروی اعمال شده صرف ایجاد نیروی برشی در نمونه مورد آزمون می‌شود، نیروی عمود وارد شده، در عمل به دو مولفه تجزیه می‌شوند و همین امر در چگالی‌های بیشتر باعث ایجاد شکستگی در رفتار مکانیکی اسفنج می‌شود.

**علل ایجاد شکستگی از دیدگاه رفتار خمشی**  
شکستگی پدید آمده در نمودارهای خمشی با استفاده از دو شکل ۷ و ۸



شکل ۱۲ - رفتار مکانیکی نیروی خمشی در مقیاس نیرو در برابر انحنای نمونه ۶.



شکل ۱۰ - رفتار مکانیکی نیروی خمشی در برابر انحنای نمونه ۶.

۴- بنابر پژوهش‌های انجام شده تنش برشی وارد بر اسفنج لایه میانی تابع مستقیمی از نیروی خمشی وارد بر دیواره است و مقدار تنش برشی لایه میانی از معادله (۱) محاسبه می‌شود [۲۲]:

$$\tau_c = \frac{P}{(d+c)b} \quad (1)$$

که در آن  $\tau_c$  تنش برشی لایه میانی (MPa)،  $P$  نیروی خمشی حداکثر (N)،  $d$  ضخامت کل ساندویچ (mm)،  $c$  ضخامت لایه میانی (mm) و  $b$  عرض نمونه (mm) است.

چون نمونه‌ها ابعاد ثابتی دارند، پس مخرج معادله (۱) عدد ثابتی است. نیروی خمشی وارد بر دیواره نیز نسبت مستقیم با تنش برشی ایجاد شده در نمونه موردن آزمون دارد. بنابراین، متناسب با افزایش چگالی اسفنج، استحکام لایه میانی زیاد می‌شود و برای رسیدن به تنش حداکثر خمشی شکست تیری بیشتری را می‌طلبد. این نتایج در جدول ۸ نشان داده شده‌اند.

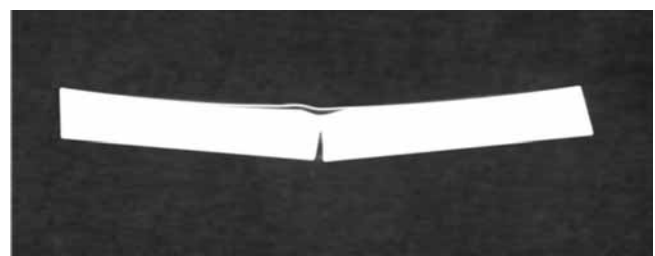
از سطح معینی از نیروی خمشی به بالاتر، تنش برشی به حدی می‌رسد که بخش بیشتری از نیروی خمشی اعمال شده صرف نیروهای برشی می‌شود. از آغاز ظهور چنین پدیده‌ای اسفنج دیگر قابلیت آن را ندارد تا مانند قبل، خواص مکانیکی آن با ازدیاد چگالی باشیب منحنی مستقیم و با سرعت نمونه‌های قبل بهبود این خواص را افزایش دهد.

## نتیجه‌گیری

خواص مکانیکی دیوارهای ساندویچی دارای جداره‌های شیشه -

نمونه‌هایی که در نمودارهای خمشی ۷ و ۸ با چگالی مساوی یا بیشتر از  $235 \text{ kg/m}^3$  قرار می‌گیرند، با شیوه شکست جداره و اسفنج لایه میانی وارد مرحله شکست می‌شوند. دلیل این امر را می‌توان در رسیدن استحکام لایه اسفنجی به حدی از استحکام خمشی دانست که تمام اجزای سازنده دیواره مقاومت قابل قبولی از خود در برابر تنش‌های خمشی زیاد نشان می‌دهند. در این شیوه شکست ملاحظه می‌شود، جداره پایین، اسفنج لایه میانی و جداره بالا به طور هم‌زمان به حد شکست می‌رسند و اجزای دیواره تا آخرین لحظه مشارکت کاملی در مقاومت در برابر تنش خمشی دارند. این شیوه شکست که همه اجزا هم‌زمان به حد شکست می‌رسند، از مهم‌ترین ویژگی‌های عملکرد یک دیواره ساندویچی مطلوب و مطمئن است که در دیواره‌های دارای لایه میانی از جنس اسفنج پلی اتر پورتان سخت تنها در چگالی‌های بیشتر از  $235 \text{ kg/m}^3$  دیده می‌شود (شکل ۱۱). در شکل ۱۲ نیز رفتار خمشی همین نمونه ۶ نشان داده شده است.

در جدول ۷ بین نتایج به دست آمده از خواص خمشی دیواره نمونه ۶ و اسفنج لایه میانی آن (به تهابی) با هم مقایسه شده‌اند.



شکل ۱۱ - نمونه ۶ در پایان آزمون خمشی (ظهور شیوه شکست کشنشی جداره زیری و اسفنج لایه میانی).

جدول ۷- مقایسه نتایج خواص خمشی دیواره نمونه ۶ و اسفنج لایه میانی آن.

مدول خمشی ویژه ( $10^2 \times \text{mm}$ )	(MPa)	مدول خمشی ( $10^2 \times \text{mm}$ )	استحکام خمشی ویژه (MPa)	چگالی ( $\text{kg}/\text{m}^3$ )		نمونه
				دیواره	اسفنج	
۱۷۰۶	۵۵۸	۴۷/۴	۱۵/۵	۳۲۷	۲۳۶	۶
۵۴۰	۱۲۹	۲۲/۸۹	۵/۶۴	----	۲۳۶	۶

علت تشدید نقش نیروی برشی و اثر آن روی خواص مکانیکی (خمشی و فشاری)، موجب پدید آمدن نقص‌های نظیر ازدیاد وزن قطعه و بالا رفتن هزینه‌های تولید می‌شود.

شیوه شکست خمشی دیواره می‌تواند راهنمای بسیار خوبی برای کنترل کیفیت و پیش‌بینی رفتار دیواره در حین کاربری آن باشد. افزون بر دو شیوه یاد شده در متن مقاله، سایر شیوه‌های شکست نظری جدایی جداره از لایه میانی، شکست اسفنج لایه میانی و شکست برشی اسفنج ممکن است در حین آزمون خمشی مشاهده شوند که هر کدام نشان دهنده ضعف فرایندی خاصی است. برای رفع نقص از دیواره و پیدا کردن علت شکست باید بررسی و مطالعه کارشناسانه به عمل آید. اسفنج پلی اتر یورتان سخت سلول بسته متناسب با چگالی آن دارای خواص فشاری و خمشی معینی است. بر اساس آزمون‌های انجام شده این حد با چگالی  $235 \text{ kg}/\text{m}^3$  حاصل می‌شود. در صورتی که استحکام خمشی زیادی از قطعه انتظار نرود (مثلًا  $6 \text{ MPa}$ )، طراحی قطعه در محدوده‌ای از چگالی (مثلًا  $30 \text{ kg}/\text{m}^3$ ) که برآورده نیاز دیواره باشد با در نظر گرفتن ضریب اطمینان مناسب انجام می‌گیرد. اگر در نظر است، دیواره از استحکام زیاد برخوردار باشد (مثلًا  $15 \text{ MPa}$ ) یا در همین محدوده طراحی قطعه اجباراً باید با چگالی (مثلًا  $36 \text{ kg}/\text{m}^3$ ) انجام شود که پاسخ‌گوی استحکام خمشی باشد تا با توجه به شیوه شکست در این چگالی از ایمنی و استحکام مطلوب بهره‌مند باشد. در هر حال، چگالی بیشتر از  $26 \text{ kg}/\text{m}^3$  برای اسفنج پلی اتر یورتان سخت پیشنهاد نمی‌شود و لازم است از سایر مواد جای گزین لایه میانی با خواص مکانیکی بهتر از جنس اسفنج PVC یا PMI استفاده شود.

جدول ۸- مقایسه بین چگالی لایه میانی و تنش برشی به وجود آمده در آزمون خمشی.

تنش برشی (MPa)	تنش خمشی حداکثر (MPa)	بار خمشی حداکثر (N)	چگالی (kg/m <sup>3</sup> )	نمونه
۰/۱۰۲	۱/۸	۵۰	۸۰	۱
۰/۳۱۰	۵/۷	۱۵۲	۱۳۰	۲
۰/۵۹۲	۸/۸	۲۹۰	۱۵۵	۳
۷/۰۵	۱۵/۵	۵۱۳	۲۳۶	۶
۷/۰۷	۱۶	۵۲۴	۲۷۵	۷
۷/۰۸	۱۶/۵	۵۳۰	۲۹۶	۸

اپوکسی و لایه میانی اسفنج پلی اتر یورتان سخت، تابعی از خواص جداره‌ها، چگالی اسفنج لایه میانی و استحکام چسبنده‌گی اسفنج به جداره‌ها هستند. آگاهی و شناخت کمی و کیفی تنش‌های وارد بر ساختار ساندویچی موجب تعیین صحیح و دقیق چگالی اسفنج می‌شود که به قویه خود عملکرد مطلوب، ایمنی و افزایش عمر مفید را سبب می‌شود. مطالعات و بررسی‌های به عمل آمده نمایان گر آن است که افزایش چگالی لایه میانی خواص مکانیکی دیواره را بهبود می‌بخشد. ولی، با توجه به شرایط عملکرد دیواره باید طوری لایه میانی را از لحاظ جنس و چگالی انتخاب کرد که عملکرد مطلوب، وزن مناسب و قیمت تمام شده با هم بهینه شوند.

افزایش چگالی اسفنج لایه میانی تا حد معینی موجب ارتقای خواص مکانیکی دیواره ساندویچی می‌شود. افزایش چگالی بالاتر از آن حد، به

## مراجع

- Peters S.T., *Handbook of Composites*, Chapman and Hall, London, 255, 1998.
- Nemati S. and Eskandari Jam J., Composites with Sanwich Structure, *J. Compos.*, Iran Composite Institute, 19, 25-28, 2006.
- Sleight D.W. and Wang J.T., Buckling Analysis of Debonded Sandwich Panel under Compression, National Aeronautics and Space Adminstration (NASA) Technical Memorandom 4701, Longly Research Center, Hempton, Virginia, 1995.

4. Gibson L.J. and Ashby M.F., *Cellular Solids: Structure and Properties*, 2nd ed., Cambridge University, UK, 173-179, 1997.
5. Sadighi M., Pourayevali H., and Saadati M., A Study of Indentation Energy in Three Points Bending of Sandwich Beams with Composite Laminated Faces and Foam Core, *Int. J. Mech. Sys. Sci. Eng.*, **37**, 214-220, 2007.
6. Mirzapur A., Beheshty M.H., and Vafayan M., The Response of Sandwich Panels with Rigid Polyurethane Foam Cores under Flexural Loading, *Iran. Polym. J.*, **14**, 1082-1088, 2005.
7. Mahfuz H., Al Mamun W., and Jeelani S., High Strain Rate Response of Sandwich Composites, Effect of Core Density and Core-skin Debond, *J. Adv. Mat.*, **34**, 22-24, 2002.
8. www. tricle corp.com, Design and Versatility, 2005.
9. Zenkert D., *The Handbook of Sandwich Constructions*, EMAS, London, 3-7, 1997.
10. Reinhart T.J., *Engineered Materials Handbook Composites*, **1**, ASM International, Ohio, 726-727, 1998.
11. Khatibi M.A. and Rahimi H., Fabrication Process and an Investigation of Properties of Thermoplastic Honeycomb Sandwich Panels, *Iran. Polym. J.*, **6**, 131-136, 2007.
12. Astrom B.T., *Manufacturing of Polymer Composites*, Chapman and Hall, London, 22-24, 1997.
13. www.spsystem.com, Guide to Composites, UK, 41-42, 2008.
14. Jordan K.M., Energy Absorbing Fiberglass Sandwich Panel with Corrugated Core, *US Pat. 5791118*, 1998.
15. Thomas D., Mantell S.C., and Davidson J.H., Analysis of Sandwich Panels for an Energy Efficient and Self-supporting Residential Roof, Department of Mechanical Engineering, University of Minnesota, 2005.
16. Summerscales J., *Composites Design and Manufacture*, MATS 324, Advanced Composites Manufacturing Center, School of Engineering, University of Plymouth, 2008.
17. Ciba Data Sheet, Cold-curing Epoxy System Based on Araldite LY 5052/Hardner HY 5052, Pub. No. 38285/1/e, 1998.
18. www. Huntsman Company, Urethane System Catalog, Cambridge, UK, 2005.
19. Hummel and Scholl, *Atlas of Polymer and Plastics Analysis*, 1981.
20. Standard Test Method for Density of Core Materials for Structural Sandwich Constructions, ASTM C 271-99.
21. Standard Test Method for Flatwise Compressive Properties of Sandwich Cores, ASTM C 365-00.
22. Standard Test Method for Flexural Properties of Sandwich Constructions, ASTM C 393-00.
23. www.spsystem.com, Guide to Composites (GTC-1-1098-17), 2009.
24. Jahed H., Noban M.R., and Eshraghi M.A., ANSYS Finite Element, University of Tehran, Chap. 1-4, 2004.